



БИООРГАНИЧЕСКАЯ ХИМИЯ

том 10 * № 7 * 1984

УДК 577.175.853'17:547.964.4.057

БИОЛОГИЧЕСКИ АКТИВНЫЕ ПЕТЛЕОБРАЗНЫЕ АНАЛОГИ БРАДИКИНИНА И ПОЛИСТЕСКИНИНА

*Мутуле И.Э., Мутулис Ф.К., Ландо О.Е.,
Ашманис А.А., Григорьева В.Д., Мышилякова Н.В.,
Клуша В.Е., Чипенс Г.И.*

Институт органического синтеза Академии наук ЛатвССР, Рига

Классическими методами пептидной химии синтезированы «петлеобразные» производные брадикинина и полистескинина — Lys-Lys-Lys-[*cyclo*(9→1^ε), Lys¹, Gly⁶]-брадикинин и Lys-Lys-Lys-Leu-Arg-Gly-[*cyclo*(9→1^ε), Lys¹, Gly⁶]брадикинин. В ходе синтеза «хвостовые» линейные фрагменты присоединялись к частично деблокированному циклопептиду. Защитные груши удалены обработкой фтористым водородом, целевые продукты очищены обращенно-фазовой и ионообменной хроматографией. В ходе биологических испытаний установлено, что в опытах *in vivo* на крысах оба соединения обладают характерной для циклических аналогов брадикинина пролонгированной гипотензивной активностью. В случае второго соединения снижение артериального давления предшествует кратковременный прессорный эффект. В экспериментах *in vitro* на матке крысы оба соединения проявили слабую миотропную активность.

Согласно современным представлениям, природные биологически активные пептиды в растворе существуют в виде равновесной смеси конформеров. При комплексообразовании с рецептором конформационная подвижность пептидов резко ограничивается, образуется так называемая биологически активная конформация, которая может соответствовать одной из структур, существующих в растворе, но может и отличаться от них. Синтез соединений с фиксированной конформацией «активного центра» молекулы природного пептида, соответствующей его «биологически активной» форме, приводит к получению «супераналогов», обладающих крайне высокой биологической активностью, селективностью и пролонгированным действием. Эти свойства благоприятствуют применению пептидов в медицине.

Фиксация определенной пространственной структуры достигается образованием циклических пептидов, в которых ковалентной связью соединены либо концы, либо боковые цепи молекулы. Для создания такой структуры природную последовательность аминокислот часто приходится модифицировать введением функциональных групп, пригодных для создания дополнительной ковалентной связи.

Использование вышеописанного подхода позволило получить высокоактивные аналоги многих пептидных биорегуляторов [1–3]. Первые целенаправленные исследования по изучению конформационно ограниченных аналогов природных пептидов были проведены нами в отношении аналогов брадикинина и кальцидина [4]. На основании результатов физико-химических исследований и данных полуэмпирических расчетов было показано, что брадикинин имеет квазициклическую структуру со сближенными N- и C-концами молекулы [5–7]. Предполагалось, что в водном растворе имеет место внутримолекулярное ионное взаимодействие [8], однако впоследствии было показано, что в данном случае «солевого мостика» не существует [9, 10]. Тем не менее формирование квазициклической структуры вполне вероятно при нахождении молекулы брадикинина в неполярной биофазе рецептора, после дегидратации заряженных групп [11]. Руководствуясь этой гипотезой, мы осуществили синтез ряда циклических

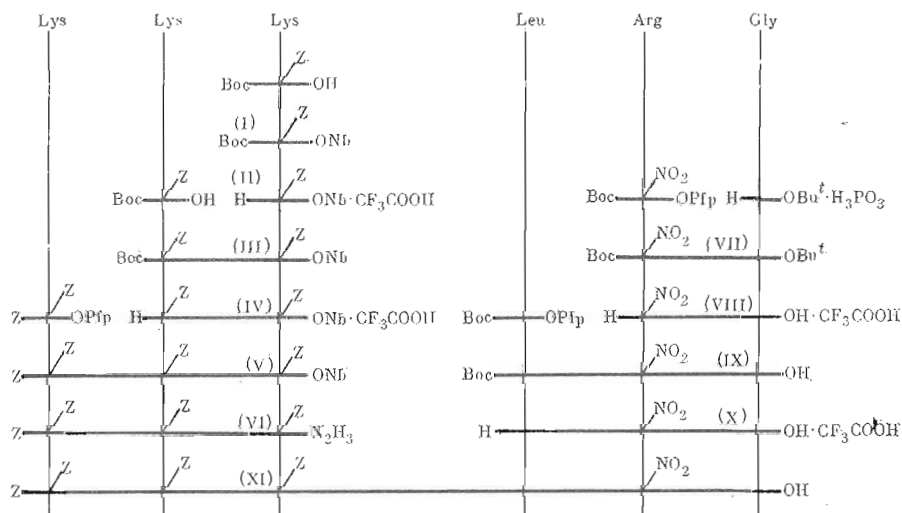
Принятые сокращения: DMF — диметилформамид, ВЭЖХ — высокоэффективная жидкостная хроматография, Pfp — пентафторенил.

аналогов брадикинина [12–16]. При биологических испытаниях было установлено, что эти соединения обладают селективной и пролонгированной гипотензивной активностью, вызывая многочасовое понижение артериального давления у наркотизированных крыс. Вариации размера цикла показали, что депрессорная активность наиболее ярко выражена у соединений, моделирующих квазициклическую конформацию молекулы брадикинина. В ряде тестов циклоаналоги брадикинина либо не обладают биологической активностью, свойственной природному брадикинину, либо их активность значительно понижена. Например, в экспериментах на матке крысы показано, что многие циклические аналоги обладают весьма слабым миотропным действием. Полное отсутствие эффекта отмечено в экспериментах по изучению влияния этих пептидов на артериальное давление у собак, кошек, морских свинок и свиней. Показано, что миотропные эффекты циклических аналогов брадикинина опосредуются через α -адренергические, серотонинергические и кальцийзависимые системы. Ионы кальция играют существенную роль также в реализации гипотензивного эффекта циклокининов [17].

Для дальнейшего изучения структурно-функциональных соотношений этого класса пептидов нами выбраны петлеобразные аналоги брадикинина и полистескинина. Последний содержится в яде ось семейства *Polistes* и имеет структуру Pyr-Thr-Asn-Lys-Lys-Leu-Arg-Gly-Arg-Pro-Pro-Gly-Phe-Ser-Pro-Phe-Arg [18].

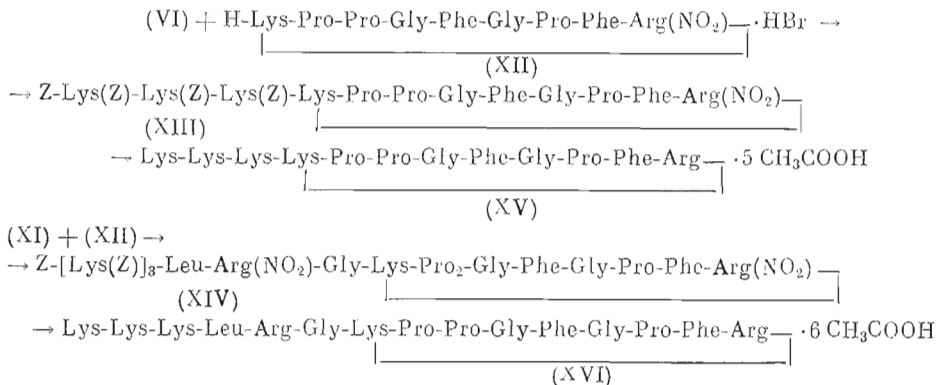
Этот октадекапептид содержит в С-концевой части полную аминокислотную последовательность брадикинина и имеет сходную структурную организацию с кортикотропином [19], в частности содержит в N-концевом участке четыре основных аминокислотных остатка. Присоединение к N-концу брадикинина остатков основных аминокислот повышает гипотензивную активность пептида. Например, активность трилизилбрадикинина в опытах *in vivo* на кроликах превосходит активность исходного гормона в 8–10 раз, а полистескинин в опытах на крысах оказался в 20 раз активнее брадикинина [20].

Поэтому представлялось перспективным получение конформационно ограниченных производных этих соединений, имеющих структуру X-cyclo-[Lys-Pro-Pro-Gly-Phe-Gly-Pro-Phe-Arg], где X – Lys-Lys-Lys-(XV) или Lys-Lys-Lys-Leu-Arg-Gly-(XVI). Аналогичное соединение (XVII) (X=Arg) было изучено нами ранее [16]. Установлено, что оно вызывает пролонгированный депрессорный эффект у наркотизированных крыс, практически не обладает миотропным действием и не отличается по этим свойствам от соединения (XVIII, X=H).



Синтез «петлеобразных» аналогов брадикинина и полистескининов

Синтез «петлеобразных» аналогов (см. схему) проведен с использованием частично деблокированного циклопентида (XII), полученного из защищенного (XVIII) [15] обработкой бромистым водородом. Переход к *n*-нитробензиловому эфиру (I) осуществляли взаимодействием Boc-Lys(Z)-OH с *n*-нитробензилбромидом. После отщепления Boc-группы смесью трифторуксусной кислоты — хлористый метилен к эфиру (II) с помощью реагента Вудварда К присоединяли защищенный остаток лизина, снова деблокировали и образовавшийся дипептид (IV) конденсировали с



Z-Lys(Z)-OPfp [21]. Полученный трипептид (V) обработкой с гидразиногидратом далее превращали в гидразид (VI) и конденсировали с циклопентидом (XII), что приводило к защищенному додекапептиду (XIII), который очищали хроматографией на силикагеле. Защитные группы отщепляли безводным фтористым водородом в присутствии анизола. Образовавшийся продукт (XV) обрабатывали ионообменной смолой для перевода в ацетатную форму, затем очищали высокоеффективной обращенно-фазовой хроматографией (рис. 1). Препарат (XV) был использован для биологических опытов.

Для получения пентадекапептида (XVI) из Boc-Arg(NO₂)-OPfp [21] и *тетр*-бутилового эфира глицина синтезировали защищенный дипептид (VII), который очищали хроматографией на силикагеле. После удаления защитных групп дипептид (VIII) конденсировали с Boc-Leu-OPfp. Последующее отщепление Boc-группы от трипептида (IX) привело к соединению (X), которое сочетали с азидом, полученным из гидразида (VI). Гексапептид (XI) превращали в пентафторфениловый эфир и вводили во взаимодействие с циклопентидом (XII). Образовавшийся защищенный пентадекапептид (XIV) очищали хроматографией на силикагеле (рис. 2). Последующее удаление защитных групп фтористым водородом привело к целевому соединению (XVI), которое очищали обращенно-фазовой хроматографией (рис. 3). В результате были получен препарат, однородный по ВЭЖХ, но обнаруживающий примесь по электрофорограмме. Следует отметить низкую эффективность данного варианта обращенно-фазовой хроматографии при разделении смесей, содержащих соединения (XV) или (XVI), что обусловлено, вероятно, взаимодействием этих сильносвязанных пептидов с остаточными силианольными группами носителя. Чистое соединение (XVI) удалось выделить последующей ионообменной хроматографией на карбоксиметилцеллюлозе (рис. 4).

Полученные «петлеобразные» аналоги были использованы для биологического тестирования. В опытах *in vivo* изучали влияние пептидов на артериальное давление наркотизированных крыс, а в экспериментах *in vitro* на матке крысы — их миотропную активность.

Установлено, что оба аналогоа влияют на артериальное давление животных (таблица, рис. 5). Пороговая доза у соединений (XVI) и (XV) составляет 4,0 и 166 мкг/кг соответственно. Аналог (XVI) обладает своеобразным действием: в малых дозах он вызывает кратковременное повышение давления, в средних дозах — повышение с последующим понижением относительно нормального уровня; в больших дозах фаза понижения

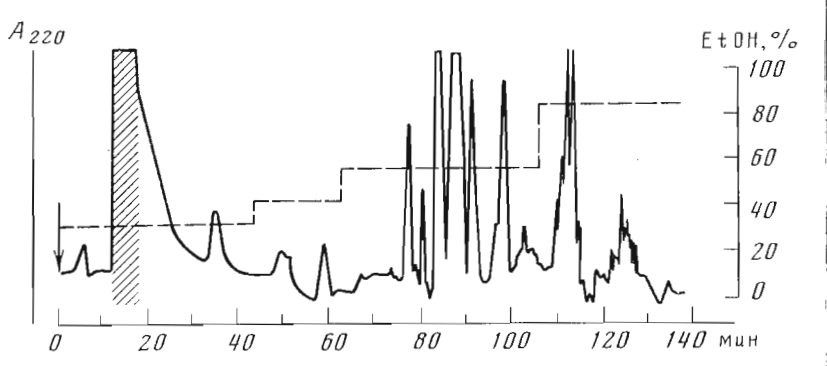


Рис. 1. Хроматография додекапептида (XV) на колонке Zorbax C₈ (2,12×25 см) в ступенчатом градиенте этанола в 0,2 н. ацетате аммония (содержание этанола 35, 45, 60 и 90%). Скорость элюции 15–16 мл/мин. Заштрихована отбираемая фракция

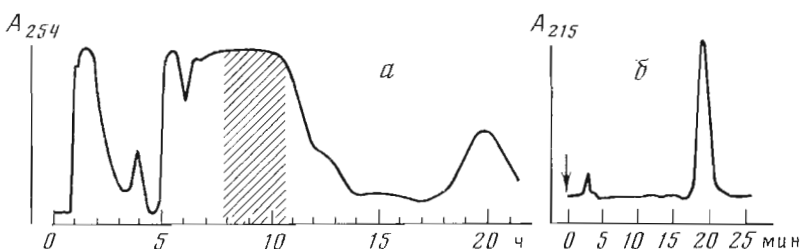


Рис. 2. а – Хроматография пентадекапептида (XIV) на силикагеле (две последовательно соединенные колонки 1×22 см, Lobar, size A, Merck) в системе n-бутиanol – уксусная кислота – вода (4 : 1 : 5, верхняя фаза). б – аналитическая хроматография выделенной фракции на колонке Zorbax C₁₈ (0,46×25 см) в системе ацетонитрил – 0,1 М KH₂PO₄+H₃PO₄ (55 : 45), pH 2,5

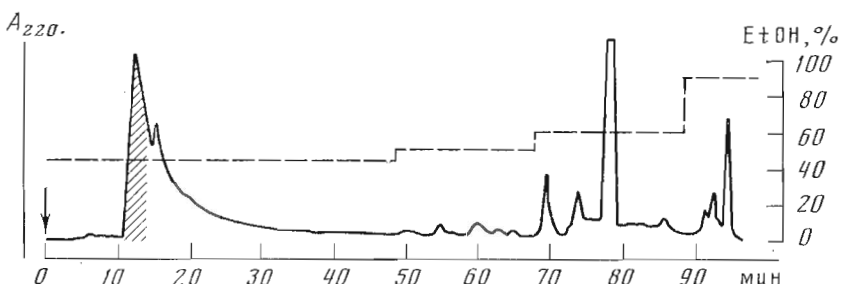


Рис. 3. Хроматография пентадекапептида (XVI) на колонке Zorbax C₈ (2,12×25 см) в ступенчатом градиенте этанола в 0,4 н. ацетате аммония (содержание этанола 45, 50, 60 и 90%). Скорость элюции 10–12 мл/мин. Заштрихована выделяемая фракция

давления становится пролонгированной. Соединение (XV) обладает гипотензивным воздействием без предварительной прессорной фазы, при увеличении дозы наблюдается пролонгация эффекта.

В опытах *in vitro* на матке крысы соединение (XVI) вызывает миотропный эффект ($\alpha = 1,0$; $pD_2 = 6,30 \pm 0,17$) *, равный по величине эффекту брадикинина, но в концентрациях, на 3 порядка превосходящих таковые у брадикинина. Соединение (XV) обладает еще меньшей миотропной активностью ($\alpha = 0,38 \pm 0,03$) и кумулятивная кривая «концентрация – эффект» не параллельна кривой брадикинина (рис. 6).

Следовательно, впервые среди циклических аналогов брадикинина обнаружено соединение (XVI), которое обладает двойственным воздействием на кровяное давление – увеличением давления с последующим его

* α – внутренняя активность, характеризует способность вещества вызывать эффект, pD_2 – показатель специфического средства, характеризует способность вещества взаимодействовать с рецептором.

Влияние «петлеобразных» аналогов брадикинина на артериальное давление паркотизированных крыс

Соединение	Доза, мкг/кг	Прессорный эффект		Депрессорный эффект	
		Величина, мм рт. ст.	Длительность, мин	Величина, мм рт. ст.	Длительность, мин
(XVI)	0,1	—	—	—	—
	1,0	9,5±1,3	1,5	—	—
	10	14,2±1,9	1,5–2	—	—
	102	25,4±2,6	2	7,5±1,8	2
	205	28,5±4,5	1	16,5±1,5	15 *
	307	20,5±3,5	0,5	23,0±1,0	15 *
	1000	20,2±3,2	0,5	27,0±0,8	60
(XV)	0,8	—	—	—	—
	83	—	—	—	—
	166	—	—	17,7±4,1	3
	250	—	—	25,0±5,7	4
	832	—	—	31,8±1,5	90

* Время, по истечении которого исходный уровень артериального давления восстанавливается на 90%.

понижением. Необходимо обратить внимание на высокую активность аналога (XVI) (прессорный эффект наблюдается уже в дозе 1,0 мкг на 1 кг веса животного). Возможно, что это соединение взаимодействует с двумя типами рецепторов, которые, отличаясь по сродству к данному циклопептиду, активируются при различных концентрациях эффектора. Можно полагать, что остатки основных аминокислот, расположенные в «хвостовой части» молекулы, при этом выполняют «якорные» функции [19]. При соединение остатков основных аминокислот, вопреки ожиданиям, не увеличило гипотензивной активности исходного циклопептида: примерно одинаковые гипотензивные эффекты возникают при введении наркотизированным крысам 50 мкг ($4,5 \cdot 10^{-8}$ М) соединения (XVIII), 1,0 мг ($5 \cdot 10^{-7}$ М) соединения (XVI) (если не принимать во внимание прессорную fazу) и 0,8 мг ($5 \cdot 10^{-7}$ М) соединения (XV) на 1 кг веса животного. По-видимому, этот факт объясняется тонкими различиями в механизмах гипотензивного действия брадикинина и его циклических аналогов.

Миотропная активность «петлеобразных» аналогов, как и у ранее изученных циклических аналогов брадикинина, характеризуется пониженным сродством к рецепторам экстравазальной гладкой мускулатуры, что свидетельствует о некоторой избирательности действия их на артериальное давление.

Сходство биологических эффектов петлеобразных и ранее изученных циклических аналогов брадикинина позволяет предположить сходство механизмов их действия.

Экспериментальная часть

Для синтеза использованы производные аминокислот, поставляемые фирмой Reanal (Венгрия). Упаривание проводили на вакуумном испарителе при 30° С. Температуры плавления, которые определяли в открытых капиллярах, приведены без исправления. Индивидуальность полученных соединений проверяли с помощью ТСХ на пластинках Merck DC-Fertigplatten Kieselgel 60 F₂₅₄. Приведены хроматографические подвижности на пластинках Silufol UV 254 в системах: хлороформ — этанол — этилацетат — уксусная кислота — вода, 85 : 5 : 8 : 2 : 0,25 (А), хлороформ — этанол — *n*-бутанол — этилацетат — вода, 10 : 6 : 4 : 3 : 1 (Б), *n*-бутанол — уксусная кислота — вода, 4 : 1 : 5, верхняя фаза (В). Электрофорез осуществляли на бумаге FN-16 (ГДР) в 1 н. уксусной кислоте (Г), приведена подвижность относительно гистидина. Вещества обнаруживали в УФ-свете, а также с помощью никидрина, паров иода, реагента Сакагuchi или хлорбензидина.

Строение соединений подтверждалось ПМР-спектроскопией. Спектры ПМР (растворы в DMSO-*d*₆) получали на приборе Bruker WH-90 (ФРГ),

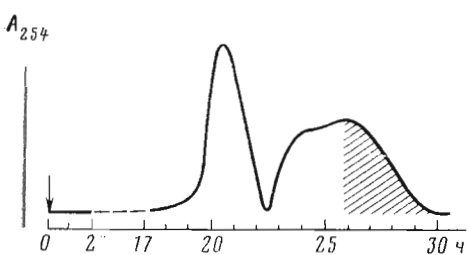


Рис. 4

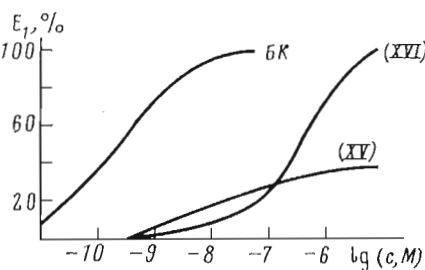


Рис. 6

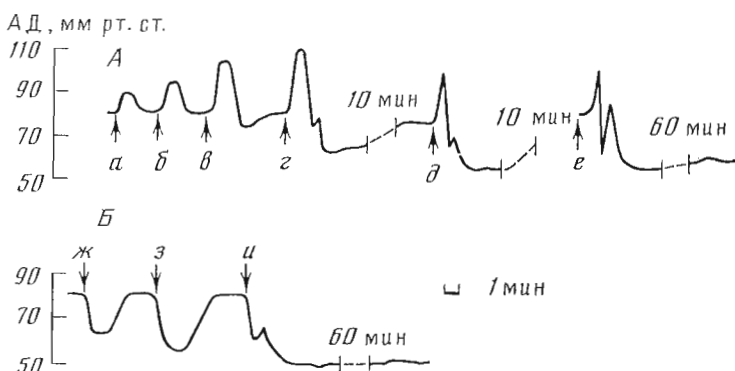


Рис. 5

Рис. 4. Хроматография пентадекапептида (XVI) на карбоксиметилцеллюлозе СМ-32 в линейном градиенте ацетата аммония (0,01 н. $\text{NH}_4\text{OCOCH}_3$, pH 4,5 → 0,2 н. $\text{NH}_4\text{OCOCH}_3$, pH 6,0). Заштрихована отбираемая область

Рис. 5. Влияние соединений (XVI) (A) и (XV) (Б) на артериальное давление (АД) наркотизированных крыс в дозах 1,0 (a), 10,0 (б), 102 (в), 203 (г), 307 (д), 1000 (е), 166 (ж), 250 (з) и 832 (и) мкг/кг

Рис. 6. Кумулятивные кривые «концентрация – эффект» брадикинина (БК) и соединения (XV) и (XVI), полученные в опытах на изолированной матке крысы

химические сдвиги, форма и интенсивность сигналов соответствовали строению пептидов. Аминокислотный анализ выполнен на анализаторе Biocal BC-200 (ФРГ) после 24-часового гидролиза пептидов в запаянной ампуле при 110° С. Аналитическая и препаративная ВЭЖХ осуществлена на приборе Du Pont 830 (США), приведены коэффициент емкости k' , а также носитель и состав подвижной фазы.

Boc-Lys(Z)-ONb (I). Раствор 6,0 г (10,7 ммоль) дициклогексиламмониевой соли *Boc-Lys(Z)-OH* в 200 мл этилацетата встряхивали со 120 мл 10% водного раствора KHSO_4 . Органический слой отделяли, сушили безводным MgSO_4 , фильтровали, упаривали. Остаток растворяли в 120 мл DMF, добавляли 2,31 г (10,7 ммоль) *n*-нитробензилбромида и 1,50 мл (10,7 ммоль) триэтиламина. Смесь выдерживали 48 ч при 18° С, упаривали, остаток растворяли в 150 мл этилацетата. Добавляли 150 мл воды, органический слой отделяли и высушивали MgSO_4 . Раствор отфильтровывали, упаривали, остаток закристаллизовывали растиранием с гексаном. Выход 4,34 г (78,8%). Т. пл. 77–79° С с разл. $[\alpha]_D^2 -16,5^\circ$ (с 1, DMF). R_f 0,77 (А), 0,95 (Б), 0,98 (В).

H-Lys(Z)-ONB-CF₃COOH (II). 4,29 г (8,34 ммоль) соединения (I) растворяли в смеси 20 мл трифторуксусной кислоты и 80 мл хлористого метиленса, выдерживали 30 мин при 20° С, затем упаривали при 0° С, остаток закристаллизовывали растиранием с безводным эфиром. Высушивали в вакуумном экскаторе в присутствии KOH. Выход 4,28 г (97%). $[\alpha]_D^{20} +5,0^\circ$ (с 1, DMF). R_f 0,45 (А), 0,65 (Б), 0,74 (В).

Boc-Lys(Z)-Lys(Z)-ONb (III). Раствор *Boc-Lys(Z)-OH* в этилацетате, полученный из 4,83 г (8,60 ммоль) дициклогексиламмониевой соли (см.

получение соединения (I)), упаривали, остаток растворяли в 200 мл ацетонитрила, добавляли 1,17 мл (8,34 ммоль) триэтиламина, затем при 0° С – 2,11 г (8,34 ммоль) реагента Вудварда К. Перемешивали 1 ч при 0° С, затем добавляли 4,29 г (8,34 ммоль) соединения (II) и 1,17 мл (8,34 ммоль) триэтиламина. Выдерживали 20 ч при 20° С, затем упаривали, остаток растворяли в 100 мл этилацетата и добавляли 100 мл 10% водного раствора KHSO₄. Органический слой отделяли, высушивали безводным MgSO₄, фильтровали, упаривали до объема 30 мл и добавляли 200 мл гексана. Образовавшийся осадок отфильтровывали, промывали 50 мл гексана. Выход 4,72 г (72,7%). Т. пл. 105–109° С. [α]_D²⁰ –10,4° (с 1, DMF). R_f 0,70 (A), 0,93 (B), 1,0 (B).

H-Lys(Z)-Lys(Z)-ONb-CF₃COOH (IV) получали из соединения (III) аналогично синтезу соединения (II), за исключением того, что продукт закристаллизовывали растиранием с гексаном. Выход 85,5%.

Z-Lys(Z)-Lys(Z)-Lys(Z)-ONb (V). К раствору 4,01 г (5,06 ммоль) соединения (IV) в 100 мл хлористого метилена добавляли 3,93 г (6,76 ммоль) Z-Lys(Z)-OPfp [21] и 1,73 мл (10,12 ммоль) диизопропилэтиламина. Выдерживали 1 ч при 20° С, затем добавляли 0,37 мл (3,4 ммоль) β-диметиламиноэтиламина. Выдерживали 30 мин, затем смесь экстрагировали 100 мл 10% водного раствора KHSO₄. Органический слой отделяли, промывали 100 мл воды, затем высушивали MgSO₄, фильтровали, фильтрат упаривали. Остаток закристаллизовывали растиранием с гексаном. Выход 5,0 г (92%). Т. пл. 139–141° С. [α]_D²⁰ –11,0° (с 1, DMF). R_f 0,66 (A), 0,90 (B), 1,00 (B). k' 5,4 (Zorbax C₁₈, ацетонитрил – вода – уксусная кислота, 60 : 39 : 1).

Z-Lys(Z)-Lys(Z)-Lys(Z)-N₂H₃ (VI). 4,50 г (1,4 ммоль) соединения (V) и 3,0 мл (62 ммоль) гидразингидрата кипятили 4 ч при перемешивании в 50 мл этанола. Затем выдерживали 20 ч при 0° С и фильтровали. Осадок на фильтре промывали эфиром, 1% водным KHSO₄, затем водой. Сушили в экскаторе в присутствии H₂SO₄. Выход 0,90 г (67%). Т. пл. 198–201° С. [α]_D²⁰ –10,5° (с 1, DMF). R_f 0,64 (A), 0,84 (B), 1,00 (B).

Boc-Arg(NO₂)-Gly-OBu^t (VII). 4,85 г (10 ммоль) Boc-Arg(NO₂)-OPfp, 2,13 г (10 ммоль) II-Gly-OBu^t·H₃PO₃ и 2,78 мл (20 ммоль) триэтиламина растворяли в 200 мл DMF. Выдерживали 1 ч, затем упаривали. Остаток растворяли в смеси 100 мл 10% KHSO₄ и 100 мл хлороформа. Органический слой промывали 100 мл воды, затем высушивали MgSO₄, фильтровали, фильтрат упаривали. Остаток закристаллизовывали растиранием с безводным эфиром. Полученный продукт очищали на колонке (3×100 см) с силикагелем Л 40-100 мкм (ЧССР), элюент – система А – изопропаном (4 : 1). Фракцию элюата, содержащую чистое соединение (VII), упаривали, остаток закристаллизовывали растиранием с безводным эфиром. Выход 1,64 г (38%).

H-Arg(NO₂)-Gly-OH·CF₃COOH (VIII). 0,95 г (2,2 ммоль) соединения (VII) растворяли в 6 мл трифтормукосной кислоты. Выдерживали 2 ч при 20° С, упаривали, остаток растирали с безводным эфиром. Выход 0,80 г (93%). Спектр ПМР (δ, м.д.): 1,29–2,0 (β, γ CH₂, Arg); 2,96–3,44 (α CH, δ CH₂, Arg); 3,84 (α CH₂, Gly, д, J 5,4 Гц); 7,0–9,3 (NH, Arg); 8,78 (NH, Gly, т, J 5 Гц).

Boc-Leu-Arg(NO₂)-Gly-OH (IX). 0,80 г (2,0 ммоль) соединения (VIII), 0,81 г (2,0 ммоль) Boc-Leu-OPfp [24] и 1,03 мл (6,0 ммоль) диизопропилэтиламина перемешивали 48 ч в 100 мл хлористого метилена. Упаривали, остаток растворяли в смеси 100 мл 10% раствора KHSO₄ и 100 мл этилацетата. Через несколько минут в органическом слое образовался гелевообразный осадок. Фильтровали, осадок на фильтре промывали водой, сушили в экскаторе, затем промывали эфиром. Выход 0,48 г (49%). Т. пл. >130° С с разл. [α]_D²⁰ –19,5° (с 1, DMF). R_f 0,19 (A), 0,68 (B), 0,88 (B). Спектр ПМР (δ, м.д.): 0,84 (δ CH₃ Leu, д, J 5,4 Гц); 1,36 ((CH₃)₃C, Boc, с); 1,0–2,0 (β CH₂, γ CH, Leu; β, γ CH₂, Arg); 2,9–3,4 (α CH, δ CH₂, Arg); 3,75 (α CH₂, Gly); 3,7–4,1 (α CH, Leu), 6,98 (NH, Boc, д, J 7,6 Гц); 7,5–9,3 (NH, Arg); 8,26 (NH, Gly).

H-Leu-Arg(NO₂)-Gly-OH·CF₃COOH (X). Получали из соединения (IX) аналогично синтезу соединения (VIII). Продолжительность реакции 1 ч. Выход 84%. Т. разл. >136° С. $[\alpha]_D^{20} -7,8^\circ$ (с 1, DMF). R_f 0(А), 0,11(Б), 0,68(В).

Z-Lys(Z)-Lys(Z)-Leu-Arg(NO₂)-Gly-OH (XI). К раствору 0,76 г (0,80 ммоль) соединения (VI) в 30 мл DMF добавляли 10 мл (3,3 ммоль) свежеприготовленного 0,33 М раствора HCl в тетрагидрофуране. Затем при -40° С по каплям добавляли охлажденный раствор 0,11 мл (0,80 ммоль) трет-бутилнитрита в 10 мл DMF. Перемешивали 50 мин при -10° С, охлаждали до -40° С, по каплям добавляли 0,56 мл (3,3 ммоль) дизопропилятиамина, раствор 0,40 г (0,80 ммоль) соединения (X) и 0,27 мл (1,6 ммоль) дизопропилятиамина в 25 мл DMF и выдерживали 48 ч при -5° С. Упаривали при 40° С, остаток перемешивали со 100 мл эфира, образовавшийся осадок отфильтровывали, перемешивали с 200 мл 1% KHSO₄, затем промывали водой и высушивали в экскаторе при 1 мм рт. ст. в присутствии P₂O₅. Выход 0,80 г (76,3%). Т. пл. 182–187° С с разл. $[\alpha]_D^{20} -16,6^\circ$ (с 1, DMF). R_f 0,21(А), 0,74(Б), 1,00(В). k' 1,38 (Zorbax C₁₈, ацетонитрил – вода – уксусная кислота, 55 : 44 : 1). Спектр ПМР (δ , м.д.): 0,81 (δ CH₃, Leu); 1,0–1,9 (β , γ , δ CH₂, Lys, β CH₂, γ CH, Leu, β , γ CH₂, Arg); 2,6–3,1 (ϵ CH₂, Lys); 3,1–3,5 (α CH, δ CH₂, Arg); 3,73 (α CH₂, Gly); 4,0–4,4 (α CH, Lys); 4,98 (CH₂O, с); 7,0–8,7 (NH-протоны); 7,30 (C₆H₅).

cyclo[H-Lys-Pro-Pro-Gly-Phe-Gly-Pro-Phe-Arg(NO₂)]·HBr (XII). 0,19 г (0,16 ммоль) *cyclo[Z-Lys-Pro-Pro-Gly-Phe-Gly-Pro-Phe-Arg(NO₂)]* [15] растворяли в 3 мл свежеприготовленного 5 М раствора HBr в ледяной CH₃COOH и выдерживали 1 ч при 18° С. Затем добавляли 50 мл безводного эфира, перемешивали до образования осадка, декантировали; обработку эфиром повторяли 4 раза. Фильтровали, осадок выдерживали при 1 мм рт. ст. в присутствии KOH и P₂O₅. Выход 0,18 г (количественный).

Z-(Lys(Z))₃-cyclo[Lys-Pro-Pro-Gly-Phe-Gly-Pro-Phe-Arg(NO₂)] (XIII). К раствору 60 мг (0,06 ммоль) соединения (VI) в 5 мл DMF добавляли 0,33 М раствор HCl в 0,76 мл (0,24 ммоль) тетрагидрофурана. Затем при -40° С добавляли охлажденный раствор 0,007 мл (0,06 ммоль) трет-бутилнитрита в 2 мл DMF. Перемешивали 2 ч при -20° С, определяя завершение реакции с помощью реагента Бартона. Затем при -40° С добавляли 0,04 мл (0,24 ммоль) дизопропилятиамина до нейтральной реакции (универсальный индикатор) и раствор 70 мг (0,06 ммоль) соединения (XII) и 0,01 мл (0,06 ммоль) дизопропилятиамина в 3 мл DMF. Реакционную смесь выдерживали 5 сут при -5° С, упаривали до объема 2 мл, к остатку добавляли 30 мл эфира, перемешивали. Образовавшийся осадок отфильтровывали, перемешивали с 30 мл воды, снова отфильтровывали, высушивали при 1 мм рт. ст. в присутствии P₂O₅. Растворяли в 3 мл хроматографической системы А, полученный раствор наносили на колонку с силикагелем (1×22 см, Lobar, Size A, Merck). Элюировали смесью хроматографической системы А с изопропанолом в объемном соотношении 10 : 1, затем 4 : 1. Фракции элюата, содержащие додеказептид, объединяли, упаривали, остаток закристаллизовывали растираием с безводным эфиром. Выход 49 мг (42%). Т. пл. 130–134° С. $[\alpha]_D^{20} -39^\circ$ (с 0,1, DMF). R_f 0(А), 0,64(Б), 0,67(В). k' 12,7 (Zorbax C₁₈, ацетонитрил – 0,1 М KH₂PO₄+H₃PO₄, 55 : 45, pH 2,5).

Lys-Lys-Lys-cyclo[Lys-Pro-Pro-Gly-Phe-Gly-Pro-Phe-Arg]·5CH₃COOH (XV). 43,3 мг (0,022 ммоль) соединения (XIII) при 0° С растворяли в смеси 2,0 мл безводного HF (тетрафлоновая аппаратура) и 0,3 мл анизола выдерживали 1 ч при этой температуре, упаривали при 0° С, остаток высушивали в экскаторе в вакууме тетрафлонового водоструйного насоса в присутствии KOH и H₂SO₄. Затем растворяли в 10 мл воды, раствор обрабатывали в течение 1 ч слабоосновной ионообменной смолой Amberlite IR-4B (Serva, ФРГ) в ацетатной форме, фильтровали, фильтрат лиофилизовали, разделяли на колонке (2,12×25 см) Zorbax C₈, элюент – этанол – 0,2 п. водный ацетат аммония в объемных соотношениях 35 : 65, затем

45 : 55, 6 : 4, 9 : 1. Детектировали при 220 нм, собирали фракции элюата по 20 мл (рис. 1). Фракции 9–12, содержащие додекапептид (XV), объединяли, упаривали при 20° С, остаток растворяли в 10 мл воды и лиофилизовали. Полученный продукт растворяли в воде и снова лиофилизовали до получения чистого порошка. Выход 16,8 мг (45,9%). $[\alpha]_D^{20} -66,4^\circ$ (с 0,5, вода). R_f , 0(А), 0(Б), 0(В), 0,97(Г). k' 2,30 (Zorbax C₈, этапол — 0,2 н. раствор ацетата аммония, 35 : 65). Аминокислотный состав: Lys 4,10 (4), Pro 2,81 (3), Gly 2,00 (2), Phe 2,10 (2), Arg 0,90 (1).

¹¹Z-[Lys(Z)]₃-Leu-Arg(NO₂)-Gly-cyclo[Lys-Pro₂-Gly-Phe-Gly - Pro - Phe-NO₂]¹¹Arg-] (XIV). 0,13 г (0,1 ммоль) соединения (XI) и 0,15 г (0,2 ммоль) комплекса F [22] растворяли в 5 мл DMF, выдерживали 20 ч при 18° С, затем добавляли 0,11 г (0,1 ммоль) соединения (XII) и 0,3 мл (1,75 ммоль) димизопропильтиамина. Выдерживали 48 ч при 18° С, упаривали, остаток закристаллизовывали растиранием с безводным эфиром, отфильтровывали, затем перемешивали с водой, снова отфильтровывали и высушивали. Растворяли в 5 мл верхней фазы хроматографической системы *n*-бутанол — уксусная кислота — вода (4 : 1 : 5), наносили на две последовательно соединенные хроматографические колонки (1×22 см, Lobar, Size A, фирма Merck). Элюировали вышеуказанный фазой (рис. 2). Фракции элюата, содержащие пентадекапептид (XIV), объединяли, упаривали, остаток растирали с эфиром. Выход 90,2 мг (38,9%). Т. разл. 149° С. $[\alpha]_D^{20} -42,4^\circ$ (с 1, DMF). R_f , 0,13(А), 0,65(Б), 0,67(В). k' 13,5 (Zorbax C₁₈, ацетонитрил — 0,1 М KН₂РО₄+Н₃РО₄, 55 : 45, pH 2,5).

¹¹Lys₃-Leu-Arg-Gly-cyclo[Lys-Pro₂-Gly-Phe-Gly-Pro-Phe-Arg] · 6CH₃COOH (XVI). 75 мг (0,032 ммоль) соединения (XIV) и 0,5 мл анизола растворяли в 2 мл безводного HF. Выдерживали 1 ч при 0° С, затем удаляли HF в вакууме водоструйного насоса. Остаток выдерживали в вакууме в присутствии KOH и конц. H₂SO₄, затем растворяли в 20 мл воды и обрабатывали 1 г слабоосновной ионообменной смолы Amberlite IR-4B (Serva, ФРГ) в ацетатной форме (1 ч), фильтровали, фильтрат лиофилизовали. Полученный продукт очищали обращенно-фазовой ВЭЖХ в два приема — 43 и 18 мг на колонке (2,12×25 см) Zorbax C₈, элюент — смесь этапола с 0,2 н. водным раствором ацетата аммония, в котором содержание этапола ступенчато меняли (рис. 3). Фракции, содержащие пептид (XVI), упаривали до $1/_{10}$ исходного объема, лиофилизовали, полученный продукт растворяли в воде, фильтровали и снова лиофилизовали. Получено 40 мг вещества, однородного по данным обращенно-фазовой ВЭЖХ. При анализе полученного вещества электрофорезом на бумаге обнаружились существенные примеси. Продукт растворяли в 3 мл воды и наносили на колонку с CM-целлюлозой *. Элюировали водным раствором ацетата аммония (линейный градиент 0,01 н. NH₄OCOCH₃, pH 4,5→0,2 н. NH₄OCOCH₃, pH 6, рис. 4). Лиофилизацией фракции, содержащей пептид (XVI), получено 8,6 мг (13%) хроматографически и электрофоретически однородного пептида. $[\alpha]_D^{20} -70,0^\circ$ (с 0,5, вода). R_f , 0(А, Б, В), 1,01(Г). k' 1,39 (Zorbax C₈, этапол — 0,1 н. раствор ацетата аммония, 45 : 55). Аминокислотный состав: Lys 4,89 (4), Leu 0,79 (1), Arg 1,85 (2), Gly 3,00 (3), Pro 3,07 (3), Phe 1,74 (2).

Определение влияния пептидов на артериальное давление крыс. Беспородных белых крыс обоего пола весом 180–200 г наркотизировали 25% раствором уретана из расчета 0,5 мл на 100 г веса. Артериальное давление регистрировали из общей сонной артерии с помощью трансдьюсера Bentley Trantec Physiological Pressure на двухканальном регистрирующем приборе Gemini (Ugo Basile, Италия). Вещества вводили в бедренную

* 2,0 г CM-целлюлозы CM-32 (Whatman) суспендировали в 30 мл 0,5 н. NaOH, выдерживали 30 мин, деканттировали и промывали водой до нейтральной реакции, затем суспендировали в 30 мл 0,5 н. HCl, выдерживали 30 мин, деканттировали и промывали водой. Обработку 0,5 н. HCl повторяли, промывали водой до нейтральной реакции и переносили в колонку.

вену в виде инъекций в объеме 0,1 мл на 200 г веса животного в дозах 0,1 мкг/кг — 1 мг/кг.

Определение миотропной активности. Миотропную активность соединений (XV) и (XVI) изучали в опытах *in vitro* согласно методике ван Россума [23] посредством регистрации изотонических сокращений изолированной матки крысы. Регистрацию сокращений производили с помощью прибора ВИ 6-5 МА в нашей модификации [24, 25]. Агонистические свойства веществ изучены в диапазоне концентраций 10^{-11} — 10^{-5} М. По кумулятивным кривым «концентрация — эффект» рассчитаны параметры, характеризующие взаимодействие веществ с рецепторами α и β_2 .

При статистической обработке данных каждое значение определено как среднее из шести опытов с вычислением средней квадратической и средней арифметической ошибки, стандартного отклонения и доверительного интервала при $P = 0,05$. Достоверность различий определена по t -тесту Стьюдента.

ЛИТЕРАТУРА

1. Ovchinnikov Yu., Chipens G., Ivanov V. In: Peptides 1982. Proc. of the 17-th Eur. Pept. Symp./Eds Blaňa K., Malon P. Berlin, New York: Walter der Gruyter, 1983, p. 1—18.
2. Чипенс Г. И. Изв. АН ЛатвССР, 1983, № 2, с. 30—37.
3. Hruby V. Life Sci., 1982, v. 26, № 3, p. 189—199.
4. Чипенс Г. И., Полевая Л. К., Веретеникова Н. И., Крикис А. Ю. Структура и функция низкомолекулярных пептидов. Рига: Зинатне, 1980, с. 1—123, 227—246.
5. Ефремов Е. С., Филатова М. П., Рейтова Т. О., Степанова Л. Н., Рейссманн З., Иванов В. Т. Биоорганическая химия, 1977, т. 3, № 9, с. 1169—1180.
6. Филатова М. П., Рейссманн З., Рейтова Т. О., Иванов В. Т., Григорян Г. Л., Шаниров А. М., Розанцев Э. Г. Биоорганическая химия, 1977, т. 3, № 9, с. 1181—1189.
7. Галактионов С. Г., Шерман С. А., Шендерович М. Д., Никифорович Г. В., Леонова В. И. Биоорганическая химия, 1977, т. 3, № 9, с. 1190—1197.
8. Ivanov V. T., Filatova M. P., Reissmann S., Reutova T. O., Efremov E. S., Pashkov V. S., Galaktionov S. G., Grigorian G. L., Ovchinnikov Yu. A. In: Peptides. Chemistry, Struct. & Biol. Proc. of the 4-th Amer. Pept. Symp./Eds Walter R., Meienhofer J. Ann Arbor: Ann Arbor Sci., 1975, p. 151—157.
9. Paiva A. C. M., Juliano L. In: Peptides. Proc. of the 5-th Amer. Pept. Symp./Eds Goodman M., Meienhofer J. N. Y.: J. Wiley & Sons, 1977, p. 337—339.
10. London R. E., Stewart J. M., Cann J. R., Matwyoff N. A. Biochemistry, 1978, v. 17, № 12, p. 2270—2276.
11. Чипенс Г. И. Вестн. АМН СССР, 1983, № 2, с. 18—22.
12. Мисина И. П., Силенцеце Г. О., Мутулис Ф. К., Клауша В. Е., Чипенс Г. И. В кн.: Тез. докл. конф. фармакологов Прибалтийских республик. Каунас, 1977, с. 61—62.
13. Chipens G., Mutulis F., Galaktionov S. In: Frontiers of Bioorganic Chemistry and Molecular Biology/Ed. Ananchenko S. N. Oxford — New York: Pergamon Press, 1980, p. 99—103.
14. Chipens G., Nikiforovich G., Mutulis F., Veretennikova N., Vosekalna I., Sosnov A., Pollevaya L., Ancans J., Mishlyakova N., Liepins E., Sekacis I., Brestav M. In: Peptides. Struct. and Biol. Funct. Proc. of the 6-th Amer. Pept. Symp./Eds Gross E., Meienhofer J. Rockford, Illinois: Pierce Chemical Company, 1979, p. 567—570.
15. Chipens G. I., Mutulis F. K., Katayev B. S., Klusha V. E., Misina I. P., Myshlyakova N. V. Int. J. Peptide and Protein Res., 1981, v. 18, № 3, p. 302—311.
16. Chipens G., Mutulis F., Mishlyakova N. In: Chemistry of Peptides and Proteins/Eds Voelter W., Wunsch E., Ovchinnikov J., Ivanov V. Walter de Gruyter & Co, 1982, v. I, p. 269—273.
17. Mishlyakova N. V., Abolina G. M., Mutulis F. K., Kluša V. E., Chipens G. I. In: Physiol. and Pharmacol. of Smooth Muscle. Program and Abstracts of Papers of the 3-rd Int. Symp. Varna, 1982, p. 86.
18. Pisano J. J. Fed. Proc., 1968, v. 27, № 1, p. 58—62.
19. Чипенс Г. И., Мутулис Ф. К., Романовский П. Я., Крикис А. Ю., Ашманис А. А., Ландо О. Е. Биоорганическая химия, 1982, т. 8, № 4, с. 437—446.
20. Schröder E. In: Handb. of Expt. Pharm. Bradykinin, Kallidin and Kallikrein/Ed. Erdős E. Berlin, Heidelberg, New York: Springer-Verlag, 1970, v. 25, p. 324—350.
21. Kisfaludy L., Löw M., Nyéki O., Szirtes T., Schön I. Lieb. Ann., 1973, № 9, p. 1421—1429.
22. Kovacs J., Kisfaludy L., Ceprini M. J. Amer. Chem. Soc., 1967, v. 89, № 1, p. 183—184.
23. Van Rossum J. M. Arch. Int. Pharmacodyn., 1963, v. 143, № 3—4, p. 299—330.
24. Беляков Н. В., Семушкин Б. В. Лаб. дело, 1972, № 10, с. 630—632.
25. Иидулен Ю. Н., Розенблит А. Б., Клауша В. Е. Тез. докл. конф. «Вопросы фармакологии пейротропных средств». Рига, 1974, с. 49.

Поступила в редакцию
14.XI.1983

После доработки
9.I.1984

BIOLOGICALLY ACTIVE LOOP-SHAPED ANALOGUES OF BRADYKININ
AND POLISTESKININ

MUTULE I. E., MUTULIS F. K., LANDO O. E., ASHMANIS A. A.,
GRIGORYEVA V. D., MYSHLYAKOVA N. V., KLUSHKA V. E.,
CHIPENS G. I.

*Institute of Organic Synthesis, Academy of Sciences
of the Latvian SSR, Riga*

The classical methods of peptide chemistry have been employed to synthesize loop-shaped derivatives of bradykinin and polisteskinin, Lys-Lys-Lys-[*cyclo(9→1⁰)*], Lys¹, Gly⁸]bradykinin and Lys-Lys-Lys-Leu-Arg-Gly[*cyclo(9→1⁰)* Lys¹, Gly⁸] bradykinin. In the course of synthesis, the linear «tail» fragments were attached to partially deblocked cyclopeptide. Protective groups were removed by treating with hydrogen fluoride, the end products were purified using reversed-phase and ion exchange chromatography. Biological experiments *in vivo* have revealed that the two compounds elicit a prolonged hypotensive effect in rats which is characteristic of cyclic bradykinin analogues. With the latter compound, a decrease in arterial pressure is preceded by a brief hypertensive action. The loop-shaped analogues are slightly myotropic when applied to rat uterus preparations *in vitro*.